

01;03;08

Рост глубины модуляции акустической волны, рассеянной на слабоустойчивых колебательных состояниях пузырьков

© А.О. Максимов

Институт проблем морских технологий ДВО РАН

Поступило в Редакцию 4 марта 1998 г.

Теоретически исследуется механизм нелинейной диагностики газовых включений в жидкости. Показано, что в окрестности критических значений поля накачки, отвечающих появлению слабоустойчивых колебательных состояний пузырьков, значительно возрастает глубина модуляции рассеянной акустической волны.

Необходимость оценить размеры и пространственное распределение газовых включений в жидкости возникает как при изучении природных объектов, так и в большом числе промышленных, медицинских и экологических приложений [1]. Два обстоятельства: резонансный характер взаимодействия и значительная сжимаемость газа в пузырьке обеспечивают приоритет акустическим методам при диагностике этих объектов, представляющих пример нелинейных осцилляторов. Простейшие проявления нелинейных пульсаций сводятся к возбуждению высших гармоник $2\omega_p$, $3\omega_p$, ... [2]. Их регистрация в сигнале обратного рассеяния позволяет выделить вклад пузырьков на фоне других (твердых) включений. Более рафинированные методы диагностики основаны на двухчастотном озвучивании исследуемой среды [3–7]. При реализации этих методик звуковое поле состояло из высокочастотной (как правило, превышающей резонансные частоты пузырьков) сигнальной волны и относительно низкочастотной волны накачки, возбуждающей резонансные колебания пузырьков. Одновременно совершенствовались линейные методы акустической спектроскопии газовых включений [8], основанные на использовании амплитудно-модулированных и фазоманипулированных сигналов. Наряду с возбуждением высших гармоник и комбинационных частот нелинейные пульсации пузырьков проявляются и в более слож-

ных эффектах, обусловленных бифуркациями динамических состояний этого нелинейного осциллятора [9–11].

В настоящей работе анализируется взаимодействие мощной амплитудно-модулированной акустической волны $P_p = 0.5\{A_p + A_i \sin \omega_i t\} \times \exp[i(k_p x - \omega_p t)] + \text{к.с.}$ с пленой пузырьков. Между амплитудами и частотами накачки A_p , ω_p и модуляции A_i , ω_i предполагаются выполненными соотношения $A_p \gg A_i$, $\omega_p \gg \omega_i$. Режим нелинейных колебаний отдельных включений задается действием мощной накачки. Воздействие слабой модуляции будет существенным только в окрестности тех динамических состояний пузырьков, которые теряют устойчивость (обращается в нуль хотя бы один из двух показателей Ляпунова). При этом за счет перекачки энергии из поля в слабоустойчивые моды колебаний, раскачиваемые модуляционной компонентой, глубина модуляции рассеянного сигнала может значительно возрастать и служить средством диагностики пузырьков.

Основой количественного рассмотрения этого эффекта будет анализ уравнения Рэлея–Плесега, описывающего пульсации пузырька в поле давления P_p

$$R\ddot{R} + \frac{3}{2}\dot{R}^2 + \frac{P_0}{\rho_0} \left[1 - \left(\frac{R_0}{R} \right)^{3\gamma} \right] + 2\delta R_o \dot{R} = -\frac{P_p}{\rho_0}, \quad (1)$$

здесь γ — показатель политропы; δ — затухание, эффективно учитывающее диссипативные процессы вязкости и теплопроводности, а также радиационные потери; P_0 , ρ_0 , R_0 — равновесные значения давления и плотности жидкости, радиусов пузырьков. Методика построения приближенного решения (2) стандартна (см., например, [12]). В окрестности основного резонанса $|\omega_p - \Omega_0| \ll \omega_p$ асимптотический ряд имеет вид $(R - R_0)/R_0 = 0.5(a \cdot \exp(-i\omega_p t + i\varphi) + \text{к.с.}) + \varepsilon u_1(a, \varphi) + \varepsilon^2 u_2(a, \varphi) + \dots$ (сравните [13]), здесь $\Omega_0 = (3\gamma P_0 / \rho_0 R_0^2)^{1/2}$ — собственная частота пузырька; ε — безразмерный малый параметр, вводимый для обозначения порядка нелинейных членов. Медленно меняющиеся амплитуда a и фаза φ колебаний определяются из системы ”укороченных” уравнений, следующей из требования отсутствия секулярных членов в разложении. Учет в (1) нелинейных членов до третьего порядка включительно приводит к следующему виду уравнения для $z = a \cdot \exp(i\varphi)$

$$\dot{z} = -\delta z - i[\omega_p - \Omega_0 + k\Omega_0 a^2] z + i \frac{[A_p + A_i \sin(\omega_i t)]}{6\gamma P_0 \Omega_0^{-1}}; \quad (2)$$

здесь $\kappa = (6\gamma^2 - 3\gamma - 2)/16$ и при выводе (2) предполагалось, что $\omega_i \leq \delta$. В отсутствие модуляционного слагаемого структура решения уравнения (3) хорошо известна. Амплитуда a_* и фаза ϑ_* установившихся колебаний ($\dot{a} = 0$; $\dot{\vartheta} = 0$) описываются при этом выражениями [12,9]

$$a_*^2[(\omega_p - \Omega_0 + \kappa\Omega_0 a_*^2) + \delta^2] = \frac{A_p^2}{36\gamma^2 P_0^2 \Omega_0^{-2}},$$

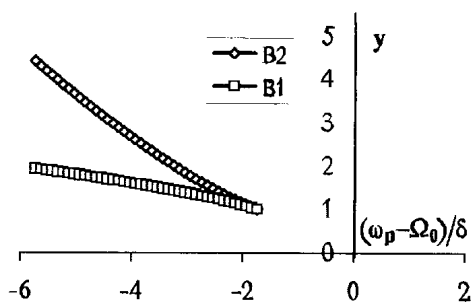
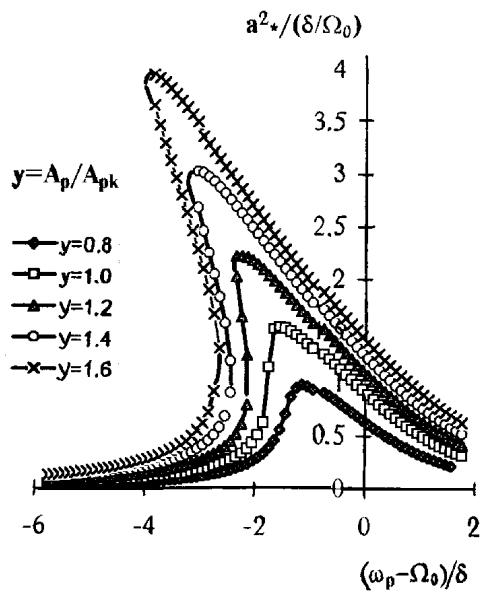
$$\cos \vartheta_* = \frac{6\gamma(\delta/\Omega_0)P_0 a_*}{A_p}. \quad (3)$$

Рисунок (1) иллюстрирует зависимость амплитуды установившихся колебаний a_* от определяющих параметров: расстройки $\omega_p - \Omega_0$ и амплитуды накачки A_p . Вне области, ограниченной кривыми B_1, B_2 , у динамической системы (3) (в отсутствие модуляционной составляющей) имеется только одно устойчивое состояние, которому соответствует простой узел на фазовой плоскости a, ϑ . Внутри области, ограниченной кривыми B_1, B_2 , имеется три стационарных состояния: два устойчивых — узлы, и одно неустойчивое — седло. На бифуркационных кривых B_1 и B_2 происходит слияние узловых и седловых точек. Точка $\mathcal{F}(\omega_{pk} - \Omega_0 = -\sqrt{3} - \delta, A_{pk}^2 = (32\sqrt{3}/\kappa)(\delta/\Omega_0)^3 P_0^2)$ является особой: в ней происходит слияние всех особых точек — двух узлов и седла.

Используя свойство нелинейных систем усиливать слабые сигналы вблизи порога динамической устойчивости [4], проанализируем влияние модуляционной составляющей в окрестности точки \mathcal{F} — порога возникновения бистабильности. Для пороговых значений определяющих параметров обращается в нуль один из двух показателей Ляпунова динамической системы (2) (в пренебрежении модуляцией), в силу чего при описании временной эволюции можно выделить быструю и медленную составляющие. Для достаточно низкочастотной модуляции $\omega_i \ll \delta$ принцип подчинения [15] позволяет исключить быструю переменную, время релаксации которой определяется $1/\delta$, и получить одно уравнение для медленной переменной $\eta = a \sin \vartheta - a_k \sin \vartheta_k$, $(a_k \sin \vartheta_k) = [(\sqrt{3}/2)(\delta/\kappa\Omega_0)]^{1/2}$.

$$\frac{d\eta}{dt} = \left[\frac{\Delta A}{2\Omega_0 \rho_0 R_0^2} \Delta \Omega \left(\frac{\delta}{2\sqrt{3}\kappa\Omega_0} \right)^{1/2} \right] - \Delta \Omega \frac{\eta}{\sqrt{3}}$$

$$- \frac{4}{3\sqrt{3}} \kappa \Omega_0 \eta^3 + \frac{A_i \sin \omega_i t}{6\gamma P_0 \Omega_0^{-1}}. \quad (4)$$



В (4) входят отклонения определяющих параметров от критических значений $\Delta A = A_p - A_{pk}$, $\Delta \Omega = (\omega_p - \Omega_0) + \sqrt{3}\delta$ ($|\Delta \Omega| \ll \delta$, $|\Delta A| \ll A_{pk}$). В настоящем сообщении будет проанализировано простейшее решение (4), отвечающее столь медленной частоте модуляции

$(\omega_i/\Omega_0)^3 \ll (A_i/6\gamma P_0)$, что в главном порядке $d\eta/dt = 0$, при этом квазистационарные значения амплитуды колебаний будут описываться формулами (4) с заменой $A_p \Rightarrow [A_p + A_i \sin \omega_i t]$.

В силу того что сечение рассеяния $\sigma_s \sim a^2$, определение глубины модуляции в расходящейся волне сводится к нахождению явного вида решения алгебраического (кубического) уравнения (3). В окрестности порога бистабильности для $\Delta\Omega \geq 0$ имеем

$$a^2 = \left(\frac{8}{3\sqrt{3}} \frac{\delta}{k\Omega_0} \right) \left\{ \frac{1}{4} - \frac{\Delta\Omega}{4\sqrt{3}\delta} - \frac{\mu}{2\sqrt{3} + \nu} \right\},$$

$$\mu \equiv \frac{\Delta A + A_i \sin(\omega_i t)}{A_{pk}}, \quad \nu = B_+ + B_-, \quad (5)$$

$$B_{\pm} = \frac{3\sqrt{3}}{8} \left(\frac{2}{3} \right)^{1/3} \left\{ \left(\frac{\Delta\Omega}{\delta} + \frac{4}{\sqrt{3}} \mu \right) \pm \left[\left(\frac{\Delta\Omega}{\delta} + \frac{4}{\sqrt{3}} \mu \right)^2 + \frac{2}{9\sqrt{3}} \left(\frac{\Delta\Omega}{\delta} \right)^3 \right]^{1/2} \right\}^{1/3}.$$

При $|\Delta A| \ll A_i$, $(\Delta\Omega_0/\delta) \ll A_i A_{pk}$ величина модуляционной составляющей $a_m \sim (\delta/\kappa\Omega_0)^{1/2} [(A_i/A_{pk}) \sin(\omega_i t)]^{1/3}$ значительно превосходит ее значение вдали от порога ($|\Delta A| \sim A_{pk}$, $(\Delta\Omega_0/\delta) \sim 1$) $a_m \sim (\delta/\kappa\Omega_0)^{1/2} [(A_i/A_{pk}) \sin(\omega_i t)]$.

При $\Delta\Omega < 0$ изменения амплитуды колебаний в области бистабильности $\left[(\Delta\Omega/\delta) + (4\mu/\sqrt{3}) \right]^2 + (2/9\sqrt{3})(\Delta\Omega/\delta)^3 \leq 0$ будет сопровождаться гистерезисными явлениями. Однако в окрестности порога размеры этой области малы (по сравнению с амплитудой изменения внешнего поля $|\Delta A| \ll A_i$), как мала и модуляционная составляющая колебаний на том отрезке времени, который отвечает пересечению области бистабильности. По этой причине формула (5) достаточно хорошо описывает модуляцию рассеянного поля в окрестности порога и при $\Delta\Omega < 0$.

Таким образом, наличие медленной амплитудной модуляции поля накачки приводит в окрестности порога бистабильности динамических состояний пузырька к значительному росту и существенно нелинейному характеру модуляции рассеянного поля. Данное обстоятельство обеспечивает новые возможности для диагностики газовых включений в жидкости.

Список литературы

- [1] *Leighton T.G.* // The Acoustical Bubble. London.: Academic Press, 1994.
- [2] *Заболотская Е.А., Солунн С.И.* // Акустический журнал. 1972. Т. 18. В. 3. С. 472–474.
- [3] *Сандлер Б.М., Селивановский Д.А., Соколов А.Ю.* // Докл. АН СССР. 1981. Т. 260. В. 6. С. 1474–1476.
- [4] *Newhouse V.L., Shankar P.M.* // J. Acoust. Soc. Am. 1984. V. 75. N 5. P. 1473–1477.
- [5] *Leighton T.G., Lingard R.J., Field J.E.* // Ultrasonics. 1991. V. 29. P. 319–323.
- [6] *Leighton T.G., Phelps A.D., Ramble D.G., Sharpe D.A.* // Ultrasonics. 1996. V. 34. P. 661–667.
- [7] *Maksimov A.O.* // Ultrasonics. 1997. V. 35. P. 79–86.
- [8] *Буланов В.А.* // Письма в ЖТФ. 1995. Т. 21. В. 15. С. 67–71.
- [9] *Максимов А.О.* // ЖТФ. 1986. Т. 56. № 1. С. 185–189.
- [10] *Максимов А.О.* // ЖТФ. 1988. Т. 58. № 4. С. 822–825.
- [11] *Максимов А.О.* // Акустический журнал. 1989. Т. 35. № 4. С. 91–96.
- [12] *Найфэ А.Х.* // Введение в методы возмущений. М.: Мир, 1984. 535 с.
- [13] *Prosperetti A.* // J. Acoust. Soc. Am. 1974. V. 56. N 3. P. 878–885.
- [14] *Weisenfeld K., Mc Namara B.* // Phys. Rev. A. 1986. V. 33. N 1. P. 629–643.
- [15] *Хакен Г.* // Синергетика, М.: Мир, 1985. 424 с.